

Minería de Datos con Agentes (*JaCa-DDM*)

Dr. Alejandro Guerra-Hernández

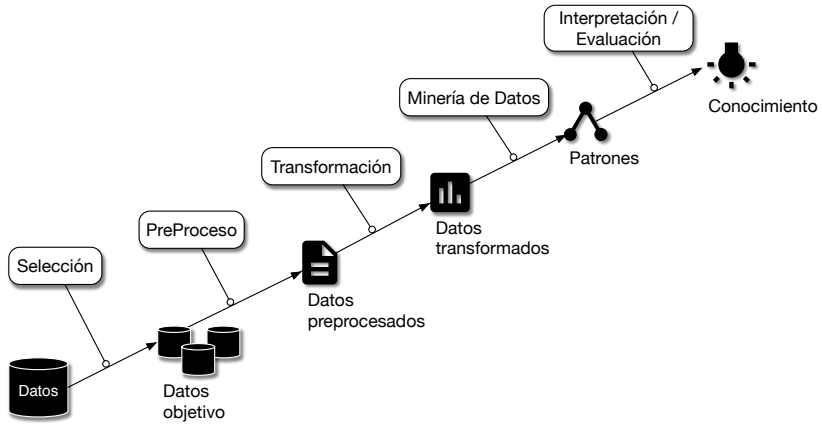
Universidad Veracruzana
Centro de Investigación en Inteligencia Artificial
Sebastián Camacho No. 5, Centro
Xalapa, Ver., México 91000
<mailto:aguerra@uv.mx>
<http://www.uv.mx/personal/aguerra>

CITII 2016, Apizaco, Tlax., noviembre 17, 2016



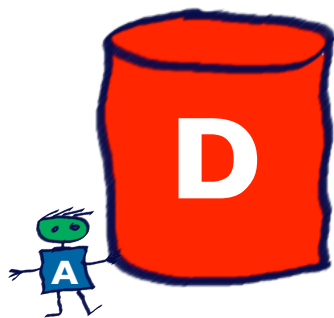
Universidad Veracruzana

De los datos al conocimiento¹

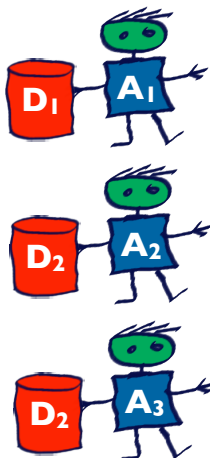


¹ U Fayyad, G Piatetsky-Shapiro y P Smyth, "From data mining to knowledge discovery in databases", *AI Magazine*, vol. 17, n.^o 3, págs. 37-54, 1996.

¿Y si los datos son demasiados?



VS



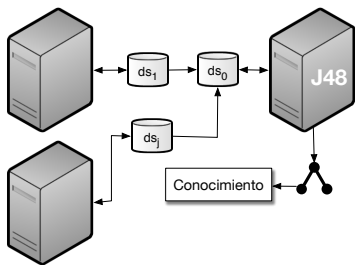
¿Y si los datos están distribuidos?



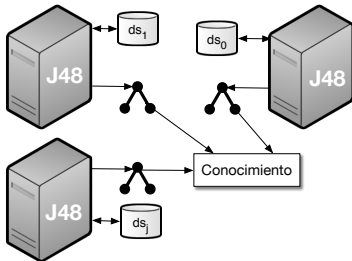
Universidad Veracruzana

Possibles soluciones

Centralización de Datos



Distribución del Aprendizaje



Herramientas: Weka² + MOA

- ▶ Representación uniforme de ejemplos, atributos, modelos, etc.
- ▶ Herramientas de evaluación de modelos.
- ▶ Soporte: Libro, documentación, comunidad activa, etc.
- ▶ Diversos algoritmos, código abierto, para:

Minería de Datos	Transformación	Meta-Aprendizaje
Árboles de decisión	Selección de atributos	Bagging
Reglas	Discretización	Boosting
Modelos lineales	Proyección	Combinación de modelos
Modelos basados en casos	Muestreo	Regresión aditiva
Predicción numérica	Calibración	Stacking
Modelos bayesianos	etc.	etc.
Redes neuronales		
Clustering		
Flujos		



²IH Witten, E Frank y MA Hall, *Data mining: Practical machine learning tools and techniques*. Burlington, MA., USA: Morgan Kaufmann Publishers, 2011.

Potenciales problemas

- ▶ Distribución de los datos.
- ▶ Algoritmos centralizados.
- ▶ Datos heterogéneos.
- ▶ Comunicación.
- ▶ Privacidad.
- ▶ Cómputo concurrente y/o distribuido.
- ▶ Datos cambiantes y/o crecientes.
- ▶ Escalabilidad.



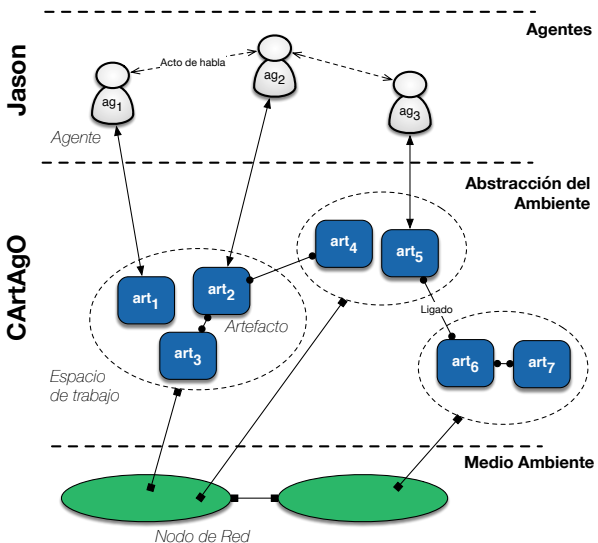
Soluciones basadas en agentes

- ▶ Frameworks y Sistemas:
 - ▶ JAM [15], BODHI [8], Papyrus [3], i-Analyst [11], EMADS [2], SMAJL [17], GLS [18], etc.
- ▶ Centralizantes.
- ▶ Meta-aprendizaje.
 - ▶ Votación.
 - ▶ Arbitraje.
 - ▶ Combinación.
- ▶ Problemas existentes:
 - ▶ Modelos de agencia débil.
 - ▶ Extensibilidad.
 - ▶ Generalidad.
- ▶ Solución: JaCa-DDM³

³X Limón, A Guerra-Hernández, N Cruz-Ramírez y col., "An agents & artifacts approach to distributed data mining", en MICAI 2013: Eleventh Mexican International Conference on Artificial Intelligence, F Castro, A Gelbukh y MG Mendoza, eds., ép. Lecture Notes in Artificial Intelligence, vol. 8266, Berlin Heidelberg: Springer Verlag, 2013, págs. 338-349.



Agentes & Artefactos (JaCa)



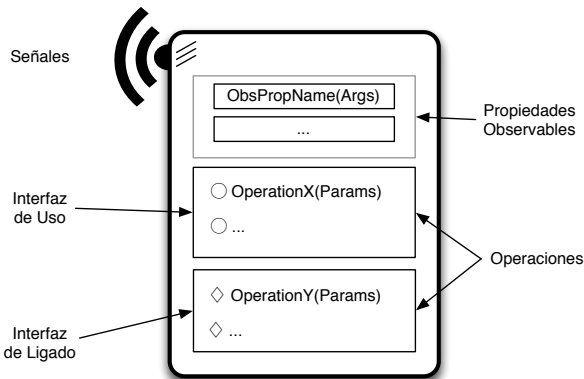
Jason⁴

- ▶ Lenguaje de Programación Orientado a Agentes.
- ▶ *AgentSpeak(L)* + Anotaciones.
- ▶ BDI: Creencias, Metas, Intenciones, Planes, Eventos.
- ▶ Semántica operacional bien definida.
- ▶ Comunicación basada en KQML: Actos de habla.
- ▶ Concurrente.
- ▶ *Modular*.
- ▶ Facilidades para programar ambientes.
- ▶ Abierto, documentado, implementado en Java.

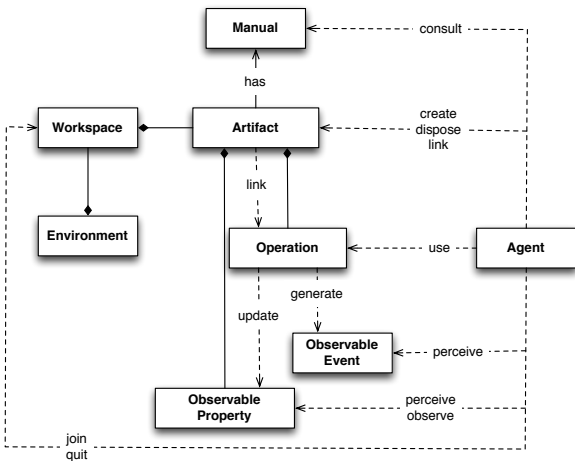


⁴RH Bordini, JF Hübner y M Wooldridge, *Programming multi-agent systems in agent-speak using jason*. John Wiley & Sons Ltd, 2007.

Artefacto



Meta-modelo de Agentes y Artefactos⁵



⁵ A Ricci, M Piunti y M Viroli, "Environment programming in multi-agent systems: An artifact-based perspective", *Autonomous Agents and Multi-Agent Systems*, vol. 23, n.º 2, págs. 158-192, 2011.



El Modelo JaCa-DDM

- ▶ Se ha definido un **modelo** abstracto JaCa-DMM, a partir de dos constructores básicos:

Estrategia JaCa-DDM. Flujo de trabajo basado en **agentes Jason** y **artefactos CArtAgO**, basados en Weka [16] y MOA [4].

Sistema de Despliegue JaCa-DDM. La manera en que los componentes del sistema se ubican en la arquitectura de cómputo distribuida donde se ejecutará la estrategia. Basada en **nodos CArtAgO**.



Estrategia JaCa-DDM

- ▶ Se define como $\langle \text{Ags}, \text{Arts}, \text{Params}, ag_1 \rangle$, donde:
 - ▶ $\text{Ags} = \{ag_1, \dots, ag_n\}$ es el conjunto de programas de agente.
 - ▶ $\text{Arts} = \{art_1, \dots, art_m\}$ es el conjunto de tipos de artefacto.
 - ▶ $\text{Params} = \{param_1 : tipo_1, \dots param_k : tipo_k\}$ con los tipos de datos $\in \{int, bool, double, string\}$.
 - ▶ $ag_1 \in \text{Ags}$ el agente responsable de la estrategia.
- ▶ Las interacciones entre agentes se detallan usando **diagramas de secuencia UML** (o AUML).

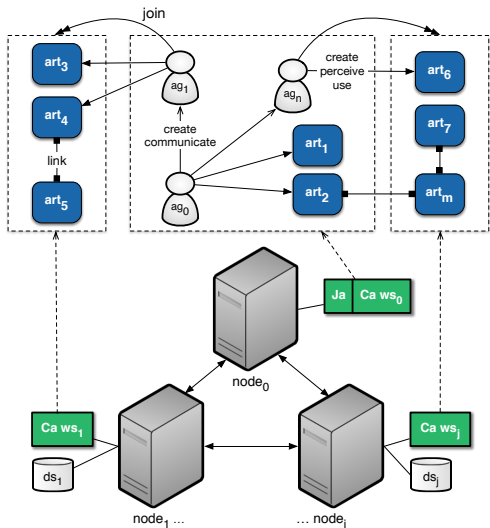


Sistema de Despliegue JaCa-DDM

- ▶ Se define como $\langle Nodos, DS, Arts, Estrat, Config, ago \rangle$, donde:
 - ▶ $Nodos = \{nodo_0, nodo_1, \dots, nodo_j\}$ son los nodos CArtAgO del sistema. Cada $nodo_i = \langle nodo_i, IPAdr : Port \rangle$.
 - ▶ $DS = \{ds_1, \dots, ds_j\}$ son las fuentes de datos para cada nodo, exceptuando el $nodo_0$.
 - ▶ $Arts = \{art_1, \dots, art_i\}$ son los tipos de artefactos primitivos usados en el sistema de despliegue.
 - ▶ $Estrat$ es una estrategia JaCa-DDM.
 - ▶ $Config = \langle \delta, \pi \rangle$ denota la configuración, donde:
 - ▶ $\delta = \langle (ag, nodo, i), \dots \rangle$ son asignaciones de i copias de un programa de agente ag focalizando en cierto $nodo$ ($ag\#i$).
 - ▶ $\pi = \{(param : val), \dots\}$ son pares parámetro-valor, conforme a $Estrat$.
- ▶ Se genera vía la interfaz de JaCa-DDM (formato XML).



Arquitectura JaCa-DDM



Tipos de artefactos primitivos (1)

Tipo de Artefacto	Descripción
ClassifierXXX	Una herramienta de clasificación, capaz de aprender nuevos modelos y usarlos para clasificar ejemplos, basada en Weka/MOA. XXX puede substituirse por alguno de los siguientes algoritmos: J48, VFDT, Bagging, BaggingEnsemble.
Directory	Una herramienta de localización de servicios para agentes, artefactos y espacios de trabajo (al estilo páginas amarillas y blancas).
Evaluator	Una herramienta para la evaluación de modelos basada en Weka.
GUI	Una interfaz gráfica para configurar y lanzar experimentos.
FileManager	Una herramienta para escribir archivos ARFF, basado en Weka.
InstancesBase	Un repositorio de ejemplos de aprendizaje basado en Weka.
LogBook	Una herramienta para generar reportes de resultados de los experimentos.

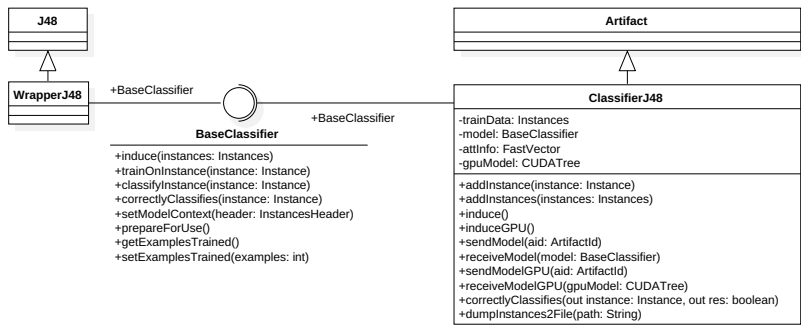


Tipos de artefactos primitivos (2)

Tipo de Artefacto	Descripción
Oracle	Una herramienta para distribuir conjuntos de entrenamiento centralizados en los diferentes nodos de la arquitectura, basado en Weka.
TrafficMonitor	Un sniffer para medir la carga de la red de la arquitectura, basado en utilidades de terceros. Su uso es opcional.
Utils	Una navaja suiza para los agentes, con multiples utilidades.



Detalles (ClassifierJ48)



Agentes obligatorios en JaCa-DDM

Responsable de Sistema de Despliegue. Es el encargado de configurar la arquitectura y evaluar los resultados obtenidos (ago_0).

Responsable de estrategia. Es el encargado de iniciar y terminar una estrategia determinada (ag_1).



ago responsable del Sistema de Despliegue (1)

Configurar el experimento. Interactiva, conforme a la estrategia adoptada, gracias a un artefacto de tipo GUI, incluye la distribución de los agentes (δ) y la inicialización de parámetros (π).

Distribuir datos dinámicamente. Cuando JaCa-DDM se usa para simular escenarios distriuidos, *ago* puede crear un artefacto de tipo Oracle para distribuir un conjunto de entrenamiento centralizado, en los diferentes nodos de la arquitectura.

Monitoreo de tráfico. Es posible evaluar el tráfico de datos que genera la ejecución de un experimento opcionalmente, usando un artefacto de tipo TrafficMonitor.



ag₀ responsable del Sistema de Despliegue (2)

Despliegue de agentes. La creación de *Ags* de la estrategia adoptada. La definición del sistema de despliegue le indica cuantos agentes de cada tipo debe crear en los nodos de la arquitectura. La inicialización de estos agentes consiste en:

- ▶ node(NodeName).
- ▶ ipNode0(IPAddress:Port).
- ▶ data(FilePath).
- ▶ param(ParamId,Val).
- ▶ Planes primitivos.



ago responsable del Sistema de Despliegue (3)

Evaluar modelos. A través de artefactos de tipo Evaluator y LogBook, ago_0 puede evaluar los modelos aprendidos y generar reportes sobre su desempeño. Un mensaje $\langle ag_1, tell, finish(ArtId) \rangle$, donde ag_1 es el agente responsable de la estrategia adoptada y $ArtId$ es el artefacto que almacena el modelo obtenido, le avisa que puede proceder a la evaluación.

Limpieza. Si la evaluación de un experimento implica repeticiones iteradas del mismo, como en el caso de la validación cruzada, el ago_0 reinicia agentes y artefactos de acuerdo a los requerimientos del método de evaluación.



ag_1 responsable de la estrategia

Iniciar el proceso de aprendizaje. Un mensaje $\langle ag_0, achieve, start \rangle$, le avisa a ag_1 que debe lanzar el proceso de aprendizaje.

Finalizar el proceso de aprendizaje. Una vez finalizado el proceso de aprendizaje, ag_1 debe enviar un mensaje $\langle ag_0, tell, finish(ArtId) \rangle$, avisando al responsable del despliegue ag_0 que el proceso ha finalizado y que el modelo obtenido se encuentra en el artefacto $ArtId$.



Configuración (1)

- ▶ La estrategia *Estrat* adoptada. Al definirse una estrategia, debe generarse un descriptor XML. Ejemplos de estos descriptores pueden encontrarse en los protocolos incluídos en la distribución en el directorio `sampleProtocols`.
- ▶ La dirección IP y los puertos usados por los nodos en *Nodos*.
- ▶ La distribución de agentes (δ) y la inicialización de parámetros (π).

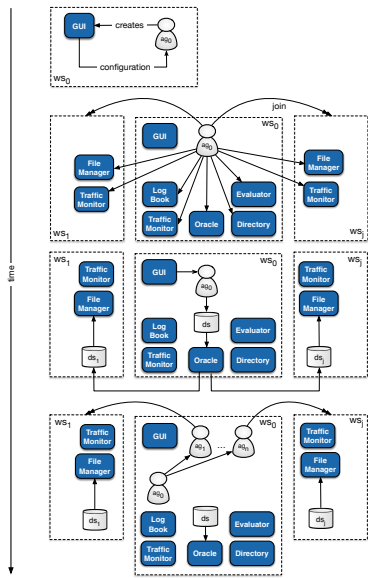


Configuración (2)

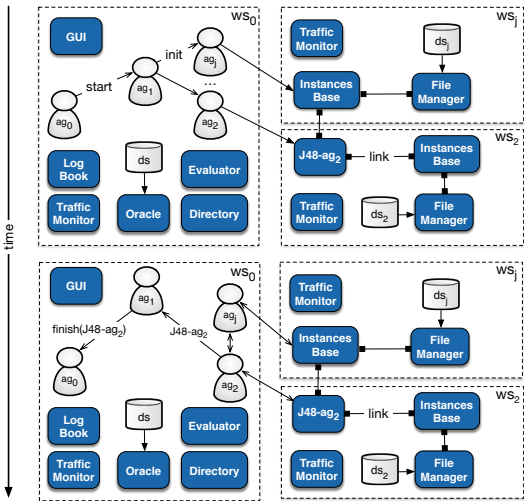
- ▶ Distribución dinámica de datos. Un conjunto de entrenamiento se encuentra en el *nodo₀* y es distribuido en los demás nodos de la arquitectura, usando un artefacto de tipo Oracle:
 - ▶ **hold-out**. Conforme un parámetro que define el tamaño del conjunto de prueba, en términos de un porcentaje de ejemplos a usarse con este propósito. El resto de los ejemplos disponibles se distribuye de manera estratificada entre los nodos definidos.
 - ▶ **cross-validation**. Un parámetro indicando el número de pliegues, determina el radio de ejemplos usados para la prueba y los entrenamientos. Las particiones de entrenamiento se distribuyen en los nodos definidos en el sistema.
- ▶ Distribución estática.



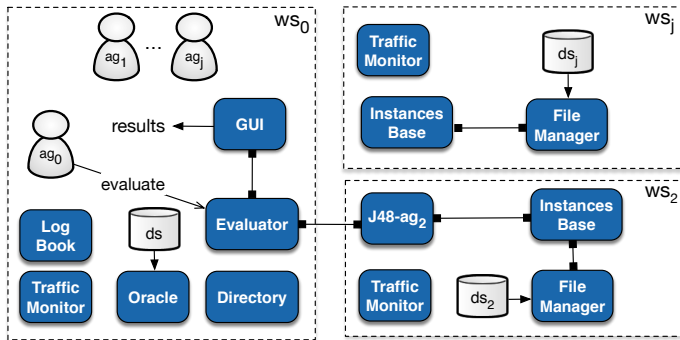
Flujo de trabajo (1)



Flujo de trabajo (3–4)



Flujo de trabajo (5)



Estrategias incluídas en JaCa-DDM

- ▶ Centralizadas:
 - ▶ Centralized
 - ▶ Centralized Bagging
- ▶ Centralizantes:
 - ▶ Centralizing
 - ▶ Round
- ▶ Basadas en Meta-Aprendizaje:
 - ▶ Distributed Bagging
 - ▶ Random Forest
- ▶ Basadas en Windowing:
 - ▶ Counter
 - ▶ Round Counter
 - ▶ Parallel Round Counter
 - ▶ Counter GPU
 - ▶ Parallel Counter GPU
 - ▶ Parallel Counter GPU Extra

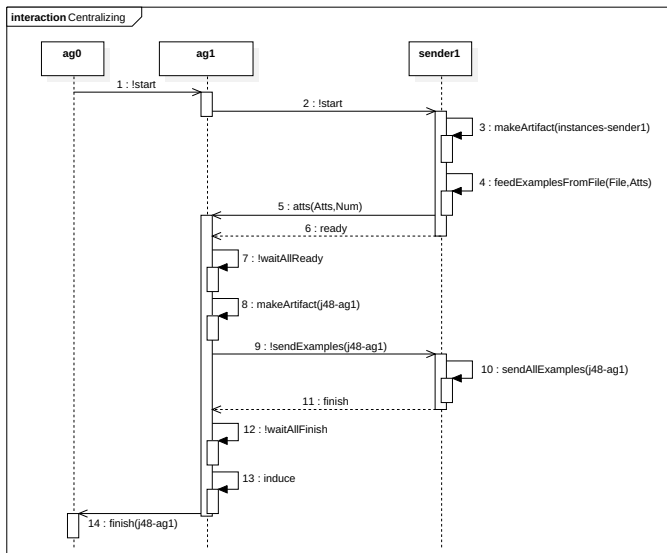


Centralizing (XML)

```
1 <?xml version="1.0"?>
2 <config xmlns="http://uv.mx/hlimon"
3   xmlns:xsi="http://www.w3.org/2001/XMLSchema-instance"
4   xsi:schemaLocation="http://uv.mx/hlimon sys.xsd">
5
6   <name>Centralizing</name>
7   <agents>
8     <agent>
9       <program>contactPerson</program>
10      <file>../sampleProtocols/centralizing/contactPerson.asl</file>
11    </agent>
12    <agent>
13      <program>sender</program>
14      <file>../sampleProtocols/centralizing/sender.asl</file>
15    </agent>
16  </agents>
17  <params>
18    <param>
19      <name>Pruning</name>
20      <type>boolean</type>
21    </param>
22    <param>
23      <name>Classifier</name>
24      <type>string</type>
25    </param>
26  </params>
27 </config>
```



Centralizing (Diagrama de secuencia UML)



contactPerson |

```
1 +begin_process: true <-
2   !consult_type_count("sender", NumSenders);
3   +num_senders(NumSenders);
4   for (.range(X,1,NumSenders))
5   {
6     .concat("sender",X,SenderX);
7     .send(SenderX, achieve, start);
8   }.
9
10 +atts(N,A) [source(sender1)] : true <-
11   !waitForAllReady;
12   ?atts(N,A);
13   ?param("Pruning", ParamVal);
14   ?param("Classifier", Classifier);
15   if(Classifier == "VFDT")
16   {
17     makeArtifact("classifier-contactPerson1","artifacts.VFDT", [b(B, a(N, A))],
18                 IdJ48);
19   }
20   else
21   {
22     makeArtifact("classifier-contactPerson1","artifacts.ClassifierJ48", [b(B, a(N,
23                               A)), ParamVal], IdJ48);
24   };
25   !register_artifact("classifier-contactPerson1");
26   ?num_senders(NumSenders);
27   for (.range(X,1,NumSenders))
```



contactPerson II

```
26      {
27          .concat("sender",X,SenderX);
28          .send(SenderX, achieve, sendExamples("classifier-contactPerson1"));
29      };
30      !waitForAllFinish;
31      induce;
32      .send(experimenter, tell, finish("classifier-contactPerson1"));
33
34 +ready(Name) [source(Ag)]: true
35     <-
36     +agent(Name). //to know the name of the agents
37
38 +!waitForAllReady: num_senders(NumSenders) & .count(ready(Name),E) & E == NumSenders
39     <-
40     println("All agents are ready").
41
42 +!waitForAllReady: true
43     <- .wait(50);
44     !waitForAllReady.
45
46 +!waitForAllFinish: num_senders(NumSenders) & .count(finish(Name),E) & E == NumSenders
47     <-
48     println("All agents have finished").
49
50 +!waitForAllFinish: true
51     <- .wait(50);
52     !waitForAllFinish.
```



sender |

```
1  +!start[source(contactPerson1)]: true <-
2    .my_name(Name);
3    .concat("instances-", Name, ArtName);
4    makeArtifact(ArtName, "artifactsInstancesBase", [], ArtIdInstances);
5    ?data(Path);
6    feedExamplesFromFile(Path, Atts) [artifact_id(ArtIdInstances)];
7    .term2string(AttsStr, Atts);
8    -+AttsStr;
9    ?atts(N, A);
10   if(Name == sender1)
11   {
12     .send(contactPerson1, tell, atts(N, A));
13   };
14   .send(contactPerson1, tell, ready).
15
16  +!sendExamples(ArtName): true <-
17    ?ipServer(IPSer); //all agents have this believe
18    joinRemoteWorkspace("default", IPSer, _); // join node0
19    getArtifactId(ArtName, IdArt); // from directory
20    quitWorkspace; // return to previous workspace
21    sendAllExamples(IdArt);
22    .send(ag1, tell, finish).
```



Descargar JaCa-DDM

- ▶ Descarga:

<https://sourceforge.net/projects/jacaddm/files/latest/download>

- ▶ Distribución incluye:

`node0`. El *nodo₀* del modelo JaCa-DDM.

`defaultNode`. Prototipo de un nodo distribuido. Los nodos *nodo₁, ..., nodo_n* del modelo JaCa-DDM.

`sampleProtocols`. Protocolos definidos en el sistema.



Iniciando los nodos distribuidos

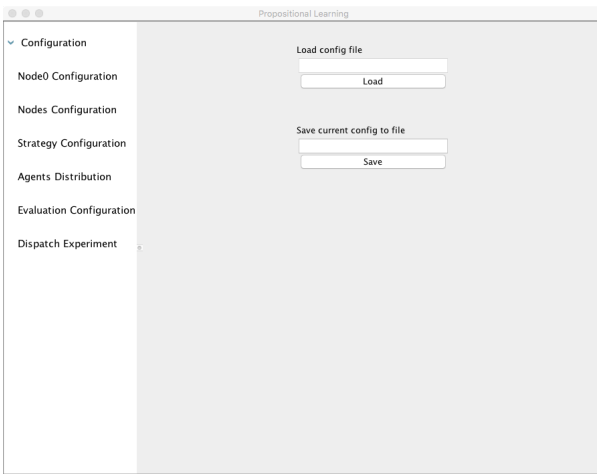
- ▶ Copiar el folder defaultNode a cada computadora a usar.
- ▶ Lanzar los nodos:

```
1      defaultNode> ./run.sh localhost 8080 &
2      [1] 1046
3      CArtAgO Node Ready on localhost:8080
4      defaultNode> ./run.sh localhost 8081 &
5      [2] 1057
6      CArtAgO Node Ready on localhost:8081
```



Iniciando JaCa-DDM

- ▶ Desde la carpeta node0, ejecutar: `./run.sh &`



Configuración de nodos

Propositional Learning

Configuration

Node0 Configuration

Nodes Configuration

Strategy Configuration

New Delete

Agents Distribution

Evaluation Configuration

Dispatch Experiment

Define a new Node

Node: - Select a Node -

Name:

IP: localhost:8080

Data file path: default

Save

Universidad Veracruzana



Configuración de una estrategia (π)

Propositional Learning

Configuration

Node0 Configuration

Nodes Configuration

Strategy Configuration

Agents Distribution

Evaluation Configuration

Resume:

Strategy: Centralizing
Agent programs:
*sender
*contactPerson

Dispatch Experiment

Define Parameters

Pruning:

Classifier: VFDT

Navigation icons: back, forward, search, etc.



Distribución de agentes (δ)

Propositional Learning

Configuration

Node0 Configuration

Nodes Configuration

Strategy Configuration

Agents Distribution

Evaluation Configuration

Dispatch Experiment

Refresh

Agent Programs: Nodes: Number of Agents:

sender contactPerson	nodo2 nodo1	1
-------------------------	----------------	---

Save

Combinations:

```
sender->nodo2->1
sender->nodo1->1
contactPerson->nodo1->1
```

Delete



Configuración del método de evaluación

Propositional Learning

Configuration

Node0 Configuration

Nodes Configuration

Strategy Configuration

Agents Distribution

Evaluation Configuration

Dispatch Experiment

Select a type of evaluation:

Cross-Validation

Dataset File:
/Applications/weka-3-6-12/data/
Load

Test Data path:
/tmp/test

Folds:
10

Number of repetitions:
1

Save

Enable GPU evaluation (only for J48)



Universidad Veracruzana

Ejecución del experimento

Propositional Learning

Configuration

Node0 Configuration

Nodes Configuration

Strategy Configuration

Agents Distribution

Evaluation Configuration

Dispatch Experiment

Experiment resume:

Refresh

Strategy: Centralizing
N. Nodes: 2
N. Agents: 3
Type of data source: Round files

Start

Results:

Global Results: Centralizing

Mean classification accuracy: 95.333 +/- 7.062

Mean training examples used: 135 +/- 0

Mean time (seconds): 0.101 +/- 0.023

Mean traffic (megabytes): 0 +/- 0

Confusion Matrix:

Actual	Predicted	Iris-setosa	Iris-versicolor	Iris-virginica
Iris-setosa	50	0	0	
Iris-versicolor	0	47	3	
Iris-virginica	0	4	46	



Windowing⁶

Algoritmo

```
1: function Windowing(Exs)
2:   Window  $\leftarrow$  sample(Exs)
3:   Exs  $\leftarrow$  Exs – Window
4:   repeat
5:     stopCond  $\leftarrow$  true
6:     model  $\leftarrow$  induce(Window)
7:     for ex  $\in$  Exs do
8:       if classify(model, ex)  $\neq$  class(ex) then
9:         Window  $\leftarrow$  Window  $\cup$  {ex}
10:        Exs  $\leftarrow$  Exs – {ex}
11:        stopCond  $\leftarrow$  false
12:       end if
13:     end for
14:     until stopCond
15:     return model
16: end function
```

Ventajas

- ▶ Reduce ejemplos.
- ▶ Mantiene precisión.

Desventajas

- ▶ Costo inducción.
- ▶ Costo clasificación.



⁶JR Quinlan, C4. 5: Programs for machine learning. San Mateo, CA., USA: Morgan kaufmann, 1993, vol. 1.

Segundos resultados⁷

Datos	Ejemplos	Atributos	Clases
adult	48842	15	2
australian	690	15	2
breast	683	10	2
credit-g	1000	21	2
covtypeNorm	581012	55	7
diabetes	768	9	2
ecoli	336	8	8
german	1000	21	2
hypothyroid	3772	30	4
imdb-D	120919	1002	2
kr-vs-kp	3196	37	2
letter	20000	17	26
mushroom	8124	23	2
poker	829201	11	10
segment	2310	20	7
sick	3772	30	2
splice	3190	61	3
waveform-5000	5000	41	3

⁷En revisión en KAIS, marzo 2015.

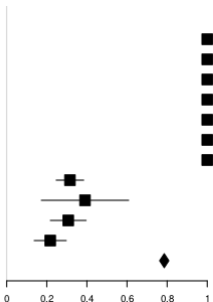
Precisión vs Ejemplos usados (Forest Plots)

Strategy

Centralized J48
Centralized VFDT
Centralized Bagging J48
Centralizing J48
Centralizing VFDT
Round
Distributed Bagging J48
Counter J48
Counter VFDT
Round Counter
Parallel Round Counter
Summary

**Strategy**

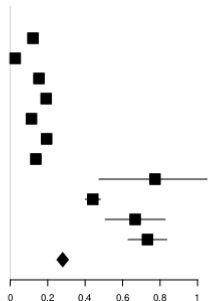
Centralized J48
Centralized VFDT
Centralized Bagging J48
Centralizing J48
Centralizing VFDT
Round
Distributed Bagging J48
Counter J48
Counter VFDT
Round Counter
Parallel Round Counter
Summary



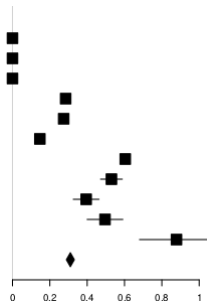
Tiempo vs Tráfico

Strategy

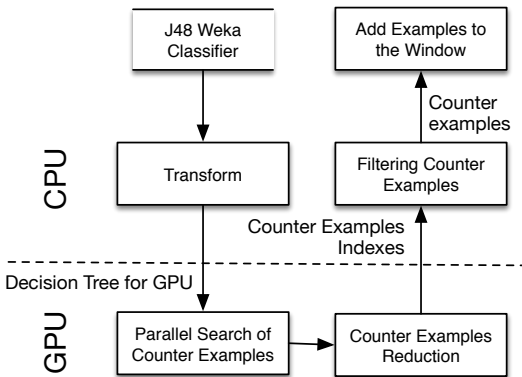
- Centralized J48
- Centralized VFDT
- Centralized Bagging J48
- Centralizing J48
- Centralizing VFDT
- Round
- Distributed Bagging J48
- Counter J48
- Counter VFDT
- Round Counter
- Parallel Round Counter
- Summary**

**Strategy**

- Centralized J48
- Centralized VFDT
- Centralized Bagging J48
- Centralizing J48
- Centralizing VFDT
- Round
- Distributed Bagging J48
- Counter J48
- Counter VFDT
- Round Counter
- Parallel Round Counter
- Summary**

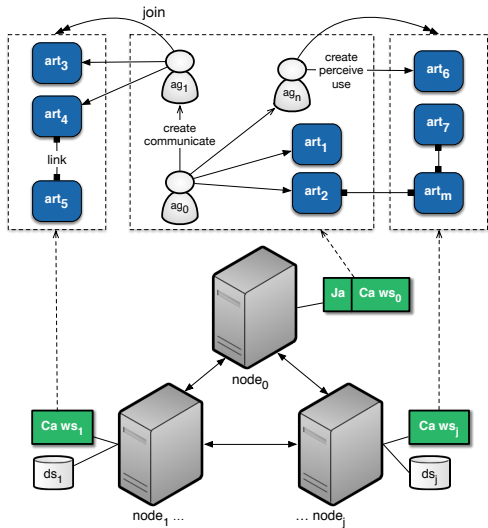


Primera revisión: GPU⁸



⁸X Limón, A Guerra-Hernández, N Cruz-Ramírez y col., "A windowing based GPU optimized strategy for the induction of decision trees", en *Artificial Intelligence Research and Development*, E Armengol, D Boixader y F Grimaldo, eds., ép. *Frontiers in Artificial Intelligence and Applications*, vol. 277, Amsterdam, NL: IOS Press, 2015, págs. 100-109.

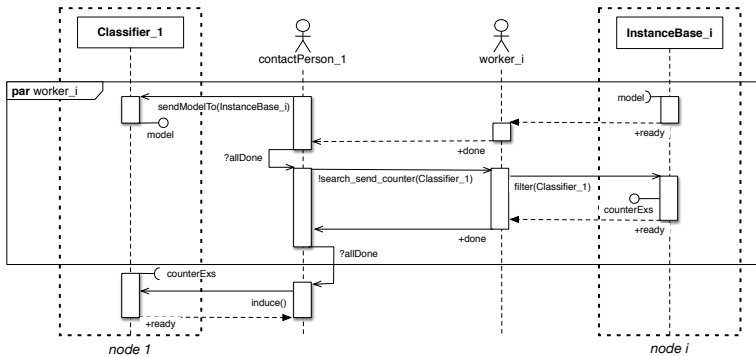
Cluster



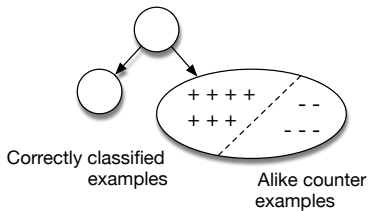
- ▶ 2 procesadores Xeon a 2.40 GHz, con 4 cores, dos hilos c/u.
- ▶ 24 GB of RAM.
- ▶ GPU Tesla C2050 con 448 cores, 6 GB de memoria.



Parallel Counter GPU



Segunda revisión: Parallel Counter GPU Extra⁹



⁹Aceptada en PRLetters, ayer :-)

Datos

Datos	Ejemplos	Atributos	Clases
airlines	539383	8	2
covtypeNorm	581012	55	7
KDDCup99	4898431	42	23
poker-lsn	829201	11	10
pixelSegCancer ¹⁰	1434060	31	2

¹⁰H-G Acosta-Mesa, N Cruz-Ramírez y R Hernández-Jiménez, "Aceto-white temporal pattern classification using k-nn to identify precancerous cervical lesion in colposcopic images", *Computers in biology and medicine*, vol. 39, n.^o 9, págs. 778-784, 2009.

Precisión

Dataset	Estrategia	Precisión	Test de Wilcoxon
airlines	Parallel Counter GPU Extra	65.36 ± 0.25	–
airlines	Weka Centralized	66.34 ± 0.11	Won
airlines	Parallel Counter GPU	66.26 ± 0.12	Won
airlines	Centralizing VFDT	65.24 ± 0.27	Tie
airlines	Bagging	66.45 ± 0.13	Won
airlines	Random Forest	66.76 ± 0.11	Won
covtypeNorm	Parallel Counter GPU Extra	92.17 ± 0.52	–
covtypeNorm	Weka Centralized	94.59 ± 0.04	Won
covtypeNorm	Parallel Counter GPU	93.10 ± 0.34	Won
covtypeNorm	Centralizing VFDT	76.83 ± 0.35	Lost
covtypeNorm	Bagging	94.99 ± 0.10	Won
covtypeNorm	Random Forest	78.34 ± 0.39	Lost
KDDCup99	Parallel Counter GPU Extra	99.98 ± 0.01	–
KDDCup99	Weka Centralized	99.99 ± 0.01	Tie
KDDCup99	Parallel Counter GPU	99.96 ± 0.01	Lost
KDDCup99	Centralizing VFDT	99.97 ± 0.01	Lost
KDDCup99	Bagging	99.99 ± 0.01	Tie
KDDCup99	Random Forest	99.97 ± 0.01	Lost
poker-lsn	Parallel Counter GPU Extra	99.53 ± 0.59	–
poker-lsn	Weka Centralized	99.78 ± 0.01	Tie
poker-lsn	Parallel Counter GPU	98.67 ± 0.46	Lost
poker-lsn	Centralizing VFDT	87.78 ± 1.92	Lost
poker-lsn	Bagging	99.71 ± 0.01	Tie
poker-lsn	Random Forest	96.73 ± 0.25	Lost



Memoria y Tiempo

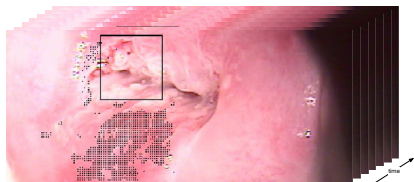
Dataset	Estrategia	%Ejemplos	Tiempo(Segs.)	
airlines	Parallel Counter GPU Extra	51.21 ± 0.03	435.04 ±	106.28
airlines	Weka Centralized	100.00 ± 0.00	1164.66 ±	211.76
airlines	Parallel Counter GPU	94.95 ± 0.01	1810.78 ±	446.47
airlines	Centralizing VFDT	100.00 ± 0.00	4.67 ±	0.53
airlines	Bagging	100.00 ± 0.00	144.67 ±	4.47
airlines	Random Forest	100.00 ± 0.00	123.82 ±	3.89
covtypeNorm	Parallel Counter GPU Extra	43.28 ± 0.04	817.30 ±	253.27
covtypeNorm	Weka Centralized	100.00 ± 0.00	855.41 ±	97.88
covtypeNorm	Parallel Counter GPU	48.44 ± 0.01	1089.03 ±	277.06
covtypeNorm	Centralizing VFDT	100.00 ± 0.00	8.96 ±	0.56
covtypeNorm	Bagging	100.00 ± 0.00	149.35 ±	5.37
covtypeNorm	Random Forest	100.00 ± 0.00	44.47 ±	4.38
KDDCup99	Parallel Counter GPU Extra	4.29 ± 0.01	93.23 ±	6.671
KDDCup99	Weka Centralized	100.00 ± 0.00	1688.91 ±	363.89
KDDCup99	Parallel Counter GPU	9.28 ± 0.01	199.72 ±	45.62
KDDCup99	Centralizing VFDT	100.00 ± 0.00	56.17 ±	1.307
KDDCup99	Bagging	100.00 ± 0.00	371.51 ±	19.39
KDDCup99	Random Forest	100.00 ± 0.00	132.43 ±	21.23
poker-lsn	Parallel Counter GPU Extra	8.80 ± 0.01	22.93 ±	3.51
poker-lsn	Weka Centralized	100.00 ± 0.00	174.26 ±	28.55
poker-lsn	Parallel Counter GPU	9.56 ± 0.01	24.90 ±	8.05
poker-lsn	Centralizing VFDT	100.00 ± 0.00	4.25 ±	0.47
poker-lsn	Bagging	100.00 ± 0.00	64.09 ±	5.49
poker-lsn	Random Forest	100.00 ± 0.00	236.34 ±	14.37



Segmentación basada en pixeles

Secuencias de imágenes de colposcopia, presentando posibles lesiones cervicales pre-cancerosas:

- ▶ 38 pacientes.
- ▶ Pre-procesamiento con FIJI [14].
- ▶ 1,434,060 pixeles de entrenamiento.
- ▶ 30 atributos.
- ▶ 6 clases, agrupadas en 2.



Precisión, sensibilidad y especificidad

Estrategia	Precisión	Wilcoxon test	Sen	Esp
Parallel Counter GPU Extra	67.61 ± 19.32	–	60.96	64.83
Weka Centralized	63.68 ± 18.44	Lost	60.80	61.60
Centralizing VFDT	53.34 ± 20.58	Lost	53.10	58.51
Bagging	64.25 ± 21.78	Lost	65.40	59.16
Random Forest	58.88 ± 23.71	Lost	68.78	49.34
Acosta2009	67.00 ± n/a	n/a	71.00	59.00



Número de ejemplos y tiempo

Estrategia	% Ejemplos	Tiempo (Seg.)
Parallel Counter GPU Extra	37.00 ± 3.52	3782.26 ± 1094.21
Weka Centralized	100.00 ± 0.00	6436.64 ± 923.16
Centralizing VFDT	100.00 ± 0.00	32.03 ± 2.61
Bagging	100.00 ± 0.00	1138.83 ± 108.83
Random Forest	100.00 ± 0.00	1817.10 ± 179.18
Acosta2009	n/a	n/a



Trabajo Futuro

- ▶ Mejorar la facilidad de uso:
 - ▶ Interfaz como un servicio Web
 - ▶ Lenguaje DSL / Gráfico basado en AUML
 - ▶ Mejorar transparencia de CArtAgO
- ▶ Analizar la relación precisión vs ejemplos.
- ▶ Analizar generalización del Windowing.
- ▶ Buscar Otras Aplicaciones:
 - ▶ Análisis de tendencias en twitter
 - ▶ Simulación Social¹¹
- ▶ **Requisitos:** Java, Estadística, Weka, Inglés, Ganas
- ▶ **Oferta:** Becas maestría y doctorado (Promedio > 8/10)

¹¹ JC Díaz-Preciado, A Guerra-Hernández y N Cruz-Ramírez, "Un modelo de red bayesiana de la informalidad laboral en veracruz orientado a una simulación social basada en agentes", *Research in Computing Science*, vol. 113, n.^o 2016, págs. 157-170, 2016.



Referencias I

-  H-G Acosta-Mesa, N Cruz-Ramírez y R Hernández-Jiménez, "Aceto-white temporal pattern classification using k-nn to identify precancerous cervical lesion in colposcopic images", *Computers in biology and medicine*, vol. 39, n.º 9, págs. 778-784, 2009.
-  KA Albashiri y F Coenen, "Agent-enriched data mining using an extendable framework", en *Agents and Data Mining Interaction*, Springer, 2009, págs. 53-68.
-  S Bailey, R Grossman, H Sivakumar y A Turinsky, "Papyrus: A system for data mining over local and wide area clusters and super-clusters", en *Proceedings of the 1999 ACM/IEEE conference on Supercomputing*, ACM, 1999, pág. 63.
-  A Bifet, G Holmes, R Kirkby y B Pfahringer, "Moa: Massive online analysis", *The Journal of Machine Learning Research*, vol. 11, págs. 1601-1604, 2010.
-  RH Bordini, JF Hübner y M Wooldridge, *Programming multi-agent systems in agent-speak using jason*. John Wiley & Sons Ltd, 2007.



Referencias II



JC Díaz-Preciado, A Guerra-Hernández y N Cruz-Ramírez, "Un modelo de red bayesiana de la informalidad laboral en veracruz orientado a una simulación social basada en agentes", *Research in Computing Science*, vol. 113, n.º 2016, págs. 157-170, 2016.



U Fayyad, G Piatetsky-Shapiro y P Smyth, "From data mining to knowledge discovery in databases", *AI Magazine*, vol. 17, n.º 3, págs. 37-54, 1996.



H Kargupta, DH Byung-Hoon y E Johnson, "Collective data mining: A new perspective toward distributed data analysis", en *Advances in Distributed and Parallel Knowledge Discovery*, Citeseer, 1999.



X Limón, A Guerra-Hernández, N Cruz-Ramírez y F Grimaldo, "An agents & artifacts approach to distributed data mining", en *MICAI 2013: Eleventh Mexican International Conference on Artificial Intelligence*, F Castro, A Gelbukh y MG Mendoza, eds., ép. Lecture Notes in Artificial Intelligence, vol. 8266, Berlin Heidelberg: Springer Verlag, 2013, págs. 338-349.



Referencias III



X Limón, A Guerra-Hernández, N Cruz-Ramírez, HG Acosta-Mesa y F Grimaldo, "A windowing based GPU optimized strategy for the induction of decision trees", en *Artificial Intelligence Research and Development*, E Armengol, D Boixader y F Grimaldo, eds., ép. *Frontiers in Artificial Intelligence and Applications*, vol. 277, Amsterdam, NL: IOS Press, 2015, págs. 100-109.



C Moemeng, X Zhu, L Cao y C Jiahang, "I-analyst: An agent-based distributed data mining platform", en *Data Mining Workshops (ICDMW), 2010 IEEE International Conference on*, IEEE, 2010, págs. 1404-1406.



JR Quinlan, *C4. 5: Programs for machine learning*. San Mateo, CA., USA: Morgan kaufmann, 1993, vol. 1.



A Ricci, M Piunti y M Virolí, "Environment programming in multi-agent systems: An artifact-based perspective", *Autonomous Agents and Multi-Agent Systems*, vol. 23, n.º 2, págs. 158-192, 2011.



J Schindelin, I Arganda-Carreras, E Frise, V Kaynig, M Longair, T Pietzsch, S Preibisch, C Rueden, S Saalfeld, B Schmid y col., "Fiji: An open-source platform for biological-image analysis", *Nature methods*, vol. 9, n.º 7, págs. 676-682, 2012.



Referencias IV



SJ Stolfo, AL Prodromidis, S Tselepis, W Lee, DW Fan y PK Chan, "Jam: Java agents for meta-learning over distributed databases.", en *KDD*, vol. 97, 1997, págs. 74-81.



IH Witten, E Frank y MA Hall, *Data mining: Practical machine learning tools and techniques*. Burlington, MA., USA: Morgan Kaufmann Publishers, 2011.



J Xu, L Yao, L Li e Y Chen, "Sampling based multi-agent joint learning for association rule mining", en *Proceedings of the 2014 international conference on Autonomous agents and multi-agent systems*, International Foundation for Autonomous Agents y Multiagent Systems, 2014, págs. 1469-1470.



N Zhong, Y Matsui, T Okuno y C Liu, "Framework of a multi-agent KDD system.", en *IDEAL 2002*, H Yin, ed., ép. *Lecture Notes in Computer Science*, vol. 2412, Berlin Heidelberg: Springer-Verlag, 2002, págs. 337-346.

